

Состояния переменного эфирного давления, возбужденное кавитационной водяной установкой iWET

Москва

26 января 2023 г.

Энергетическое устройство iWET

/ Разработчик: Юрий Максимович Бычков профессор, доктор технических наук, Россия /

Рассмотрим устройство и принцип действия ветроэнергетического устройства **iWET**, в котором осуществляется *«Полиэнергетический Термодинамический Процесс со сверхединичными коэффициентами преобразования энергий (Бычков Ю.М.)»*.

Устройство, общий вид которого представлен на рис.2, содержит гидравлическую установку, в которой с помощью центробежного насоса создают напорный водный поток, поступающий по напорному трубопроводу в конвертер к гидроструйному насосу с рабочим органом специальной конструкции.

Одновременно в конвертер по конфузорному каналу ветроускорителя подаётся воздушный поток при полном отказе от лопастной ветротурбины, конвертер предназначен для образования сверхзвуковой водовоздушной смеси.

Известно, что скорость сверхзвукового течения двухфазной среды зависит от её газосодержания - так, например, при объёмной концентрации воздуха в воде = 0,5, то местная скорость звука в двухфазной смеси будет равна 21,8 м/с, и её собственное течение с большей скоростью будет происходить в сверхзвуковом режиме со скачками температуры и давления, в результате фазных превращений с образованием избыточных энергий воды и воздуха, необходимых для "сверхединичных преобразований" их в пневмогидромеханическую, термальную (тепло/холод) и электрическую энергии в их различном сочетании и количественном соотношении в соответствии с необходимым энергетическим балансом.

Следует особо отметить чрезвычайно важную возможность данного устройства работать в автономном режиме независимо от ветра при неблагоприятных погодных условиях (низкая температура, снегопад и другие).

В подобных случаях воздушный поток из окружающего воздушного пространства может нагнетаться принудительно, например, вентилятором или компрессором, или эжектироваться гидроструйным насосом конвертера. Так же может быть задействован в режиме замкнутой циркуляции сжатый воздух, накопленный в баке-ресивере.

После конвертера сверхзвуковой водовоздушной поток превращают в дозвуковой водовоздушной поток, направляя его под напором по трубному участку в бак-ресивер, где происходит его разделение на две горячие среды – сжатый воздух и воду, которые находятся под избыточным давлением соответственно в верхней и нижней части бака-ресивера с границей раздела между ними.

Таким образом, в данном конкретном случае бак-ресивер выполняет функцию накопителя избыточной тепловой и механической энергий.

Горячая вода, становясь теплоносителем, по всасывающему трубопроводу возвращается снова в центробежный насос, а горячий сжатый воздух накапливается в баке-ресивере, при этом процесс генерации и накопления избыточной энергии происходит непрерывно, что подтверждается одновременным ростом температуры и давления как воды, так и сжатого воздуха.

По достижении необходимых значений температуры избыточная тепловая энергия водяного теплоносителя отводится во внешний замкнутый контур системы горячего теплоснабжения, включающей радиаторы водяного отопления, по трубопроводу прямой подачи и возвращается по трубопроводу обратной подачи.

Возможен более сложный вариант исполнения системы водяного теплоснабжения с применением бойлера и дополнительной системы горячего водоснабжения для хозяйственно-питьевых целей. Избыточную механическую энергию целесообразно применять для рекуперации электрической энергии посредством дополнительно встроенной в установку гидротурбины с электрогенератором.

Сжатый воздух в данном случае выполняет функцию пневмоаккумулятора избыточной механической и тепловой энергии воздуха.

Избыточная тепловая энергия горячего сжатого воздуха может использоваться для воздушного отопления, а также для различных технологических целей (сушка, подогрев рабочих сред и т.д.), а механическая энергия охлажденного сжатого воздуха может применяться для работы пневмоинструментов и пневмодвигателей различного назначения, включая пневмодвигатели электрогенераторов для выработки электроэнергии. »

ИЗМЕРЕНИЯ

Измерения проводились Авшаровым Е. и Павловым М. 26.01.2023г. с 11:00 по 13:30.

Цель исследования: измерение значений переменного эфирного давления в различных точках устройства при работающем и неработающем состоянии, а также в помещении, где оно находится на расстоянии более 3-х метров от работающих элементов установки.

Переменное эфирное давление измерялось прибором "ИГЭЭ-2(гр)" ("MGEP-2(gi)") с полной гальванической развязкой входного детектора, показанного на рис. 1. (разработка Авшарова Е.М. http://www.course-as.ru/AEM_GE/AEM_GED.html#MGEP-V).

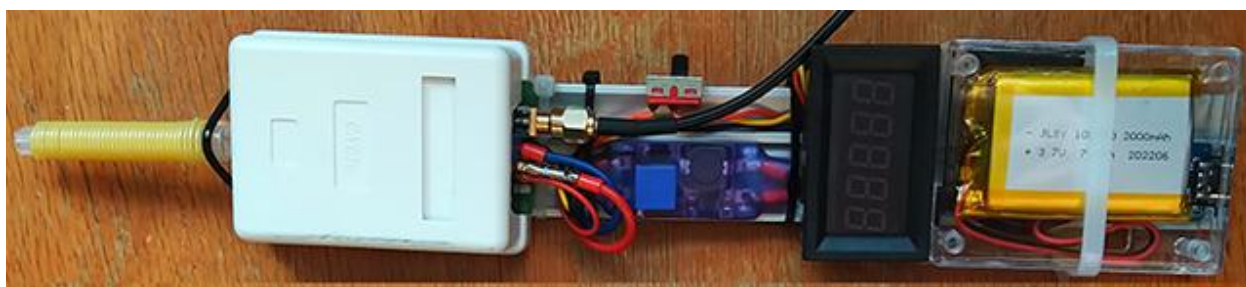


Рис. 1. Измеритель Градиентов Эфирного Давления "ИГЭД-2(гр)" / ("MGEP-2gi") /

Протокол демонстрации
Измерителей Градиентов Эфирного Давления реального времени серии
ИГЭД-2 и ИГЭД-2(гр) /с гальванической развязкой /

Демонстрация возможностей измерителей серии ИГЭД-2 проведена 06.04.2023г. в "Центре коллективного пользования РУДН" (ул. Миклухо-Маклая 8, кор 2) в пом. № _____

Представлены:

1. измерения градиентов переменного эфирного давления датчиком ИГЭД-2 над поверхностью воды в пластиковой рюмке:
 - a. без воздействия на эфирную среду и воздействие человека,
 - b. при расположении рюмки с живым соком лимона на расстоянии 5-6 см.,
 - c. при расположении рюмки с водой на расстоянии 5-6 см. после воздействия на нее в/в разрядом.
2. Измерения дифференциальным датчиком переменных градиентов эфирного давления - ИГЭД-Д (био-исследования) - размещении воды в одну из пробирок.
3. измерения градиентов переменного эфирного давления датчиком ИГЭД-2 при дистанционном воздействии катушки Тесла (Φ 20мм х40) при работе на однопроводную линию с нагрузкой через промежуточную катушку Тесла на различных расстояниях – диапазон чувствительности более 6-7 порядков.
4. Параллельные измерения переменного эфирного давления датчиком ИГЭД-2(гр)

Демонстрация проведена разработчиком датчиков и измерителей, с теоретическим обоснованием работы ее компонентов - Авшаровым Евгением Михайловичем.

Описание измерителей представлено на сайте: "Градиентная Эфиродинамика /GED/" (http://www.course-as.ru/AEM_GE/AEM_GED.html)

Страницы - http://www.course-as.ru/AEM_GE/AEM_GED.html#MGEP-V и
- http://www.course-as.ru/AEM_GE/AEM_GED.html#MGEP-2

Работоспособность измерителей подтверждена (ФИО, звание, комментарии, подпись):

ИГЭД-2 демонстрирует эффекты за пределами стандартных моделей классической электродинамики

И. Э. Булмышев, к.ф.-н.н., с.н.с. АИССР по смеж. дисциплинам, Радиодинамика Велюгал-квантовую радиофизику, разработчик микровакюумч РАР, руководитель ИИПВ им. А.П.Левитса, профессор РУДН, ORCID ID: 0000-0003-3835-0973

Е.В.
06.04.2023

Е.В. Рясник, к.б.н., в.н.с. кафедр. Биоразуки биологического факультета ИГУ, устный секретарь ИИПВ им. А.П.Левитса

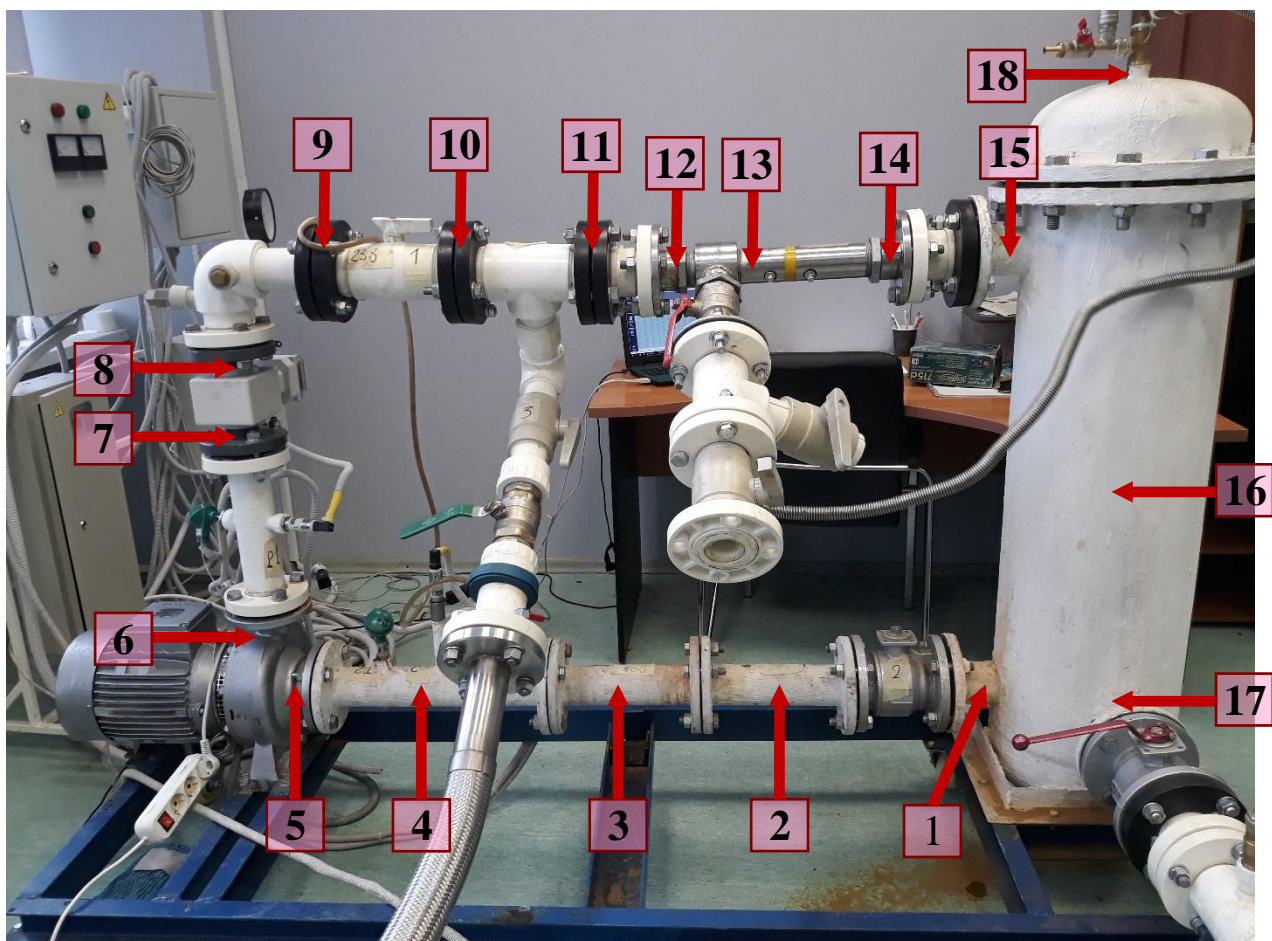


Рис. 2. ФОТО УСТРОЙСТВА С УКАЗАНИЕМ ТОЧЕК ИЗМЕРЕНИЯ

Измерения значений эфирного давления производились в 19 точках на устройстве, которые производились прибором в указанных выше точках перпендикулярно его поверхности.

Результаты измерений эфирного давления представлены в **таблице**.

Мощность двигателя – 6 кВт.

Давление подачи воды на датчике № 1 составляет **6 атмосфер**.

1 измерение производилось примерно через 1 час после включения устройства.

Давление в теплоаккумуляторе на датчике № 2 составляет **2,45 атмосфер**.

Фоновое значение эфирного давления в помещении на расстоянии 3 метров от устройства составляло примерно **70.0 mV**.

2 измерение производилось примерно через 30 минут после 1 измерения после установления давления в теплоаккумуляторе (датчик № 2) в **4 атмосферы**.

Фоновое значение эфирного давления в помещении составляло примерно **82.0 mV**.

3 измерение производилось примерно через 1 час после выключения устройства.

Фоновое значение эфирного давления в помещении составляло примерно **75.0 mV**, фоновое значение эфирного давления в помещении через 15 минут после 3 измерения составило примерно **60.0 mV** (т.е. через 30 минут после выключения питания установки).

Фоновое значение переменного эфирного давления в радиаторах отопления, которые не были подключены к устройству, но ранее использовались, составило **110.0 mV !!!**

Результаты

Измерение переменного эфирного давления (в **mV** показаний измерителя).

Точки изм.	Значение эфирного давления, милливольт		
	1 измерение (2.4 атм, 1 час)	2 измерение (4.0 атм, 1.5 час)	3 измерение (0.0 атм, 2.5 час)
Фоновое значение на расстоянии > 3м	70.0	82.0	75.0
1	107.5	120.0	115.0
2	145.0	114.0	108.0
3	108.0	113.0	112.0
4	111.5	117.0	112.0
5	235.0	230.0	210.0
6	160.0	165.0	172.0
7	235.0	188.0	160.0
8	260.0/310.0*	260.0/290.0*	235.0/285.0*
9	120.0	13.20	112.0
10	130.0	140.0	113.0
11	130.0	134.0	114.0
11A (параллельно)	350.0	193.0	152.0
12	160.0	165.0	154.0
13	150.0	148.0	135.0
14	150.0	180.0	154.0
15	130.0	128.0	115.0
16	120.0	118.0	112.0
17	110.0	117.0	72.0
18	170.0	155.0	173.0

* перпендикулярно/параллельно

Измерение производилось на расстоянии 45 мм от стенок при перпендикулярном направлении, и на расстоянии 15 мм от стенок при параллельном направлении.

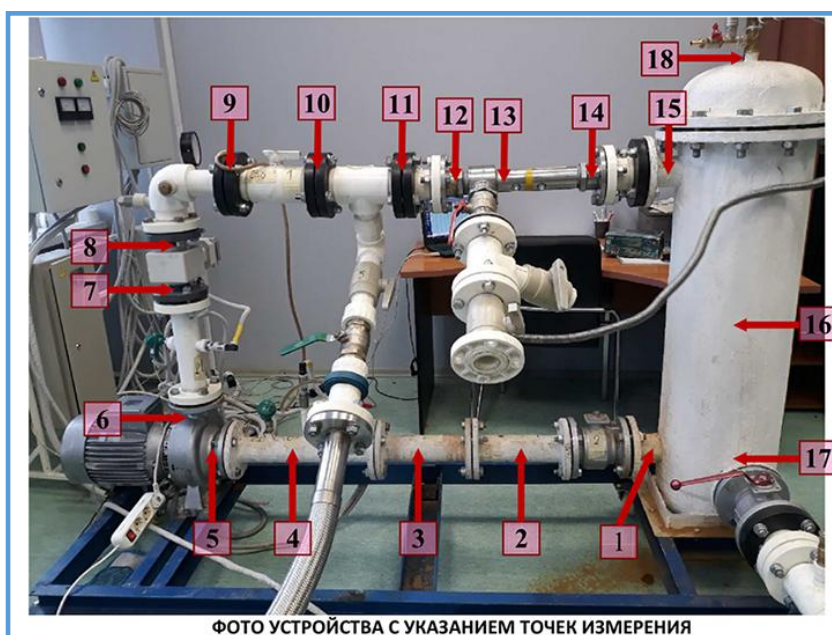


Рис. 3. Фон помещения.
Осциллограмма.

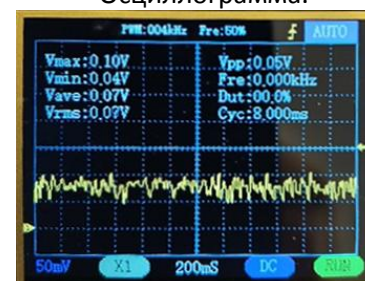


Рис. 4. Приложение к таблице

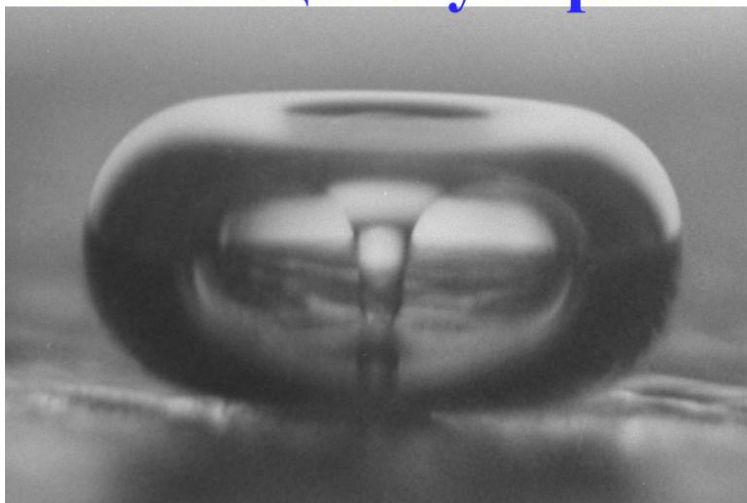
ВЫВОДЫ

При работе вокруг установки возникает наведенные вихревые колебания эфирной среды, превышающие от 2-х до 4-х раз фоновое состояние эфирной среды, имеющее тенденцию к повышению превышения при длительном времени работы установки.

Следует отметить что измерение на радиаторе, который **не был во время работы установки подключен к установке, составляло ~ 110 mV, что говорит о наличии эфирного фантома.**

Кавитационный процесс в водной среде, исходя из понятий Эфиродинамики, представляет собой множественный процесс зарождения микроскопических тороидально-кольцевых вихревых образований (фото на рис.4) с интенсивным выбросом через центральный канал закрученный водный поток (Спин в понятиях Эфиродинамики – рис.5), обладающий громадной энергетикой, который при столкновении с твердой поверхностью производит “кавитационные каверны”.

Кавитация пузырька



Crum L. J. Physique, v.40, 285 (1979)

Рис.5. Фото кавитационного микроскопического пузырька.

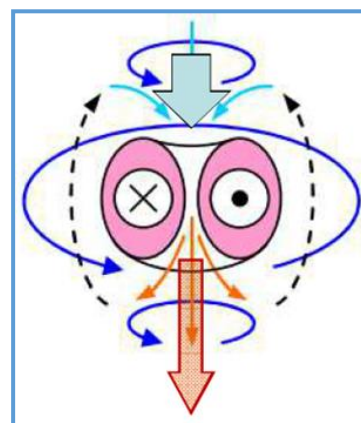


Рис.6. Схема эфирного вихря кавитационного пузырька.

Эфирный вихрь, сопровождающий кавитационный пузырек, порожденный сталкивающимися эфирными потоками в потоке жидкости (или газа), поддерживает длительный цикл жизни этих водно-эфирных образований в водно-воздушной среде.

Это выявило измерение излучения от радиаторов, не подключенных к установке в день проведения измерений и несколько дней ранее, превышающее фон помещения в 1.5 раза - ~ 70.0 mV, которое обусловлено активностью окружающей эфирной среды, небольшие колебания которой поддерживают эфирные фантомные и кавитационные процессы; в помещениях, удаленных от испытуемого на значительное расстояние колебание эфирной среды составляли $\sim (55\text{-}60)$ mV.

РЕКОМЕНДАЦИИ

Необходимо провести биологические исследования по вопросу вредного воздействия на биологические объекты при длительной непрерывной работе установки.

Необходимо найти оптимальные материалы для поглощения для создания средств подавления вихревых эфирных воздействий установки и биологической защиты человека.

Необходимо развязать контур генерации от контура потребителя теплообменником, с проверкой отсечки фантомных эфирных воздействий от контура генерации.